

**EKO-CONNECT**

LABORATORIUM BADAWCZE PÓL ELEKTROMAGNETYCZNYCH

EKO-Connect Sp. z o.o.
60-591 POZNAŃ, ul. MIODOWA 14A
Tel. 790 200 181
Tel. 790 004 761
e-mail: laboratorium@eko-connect.pl



AB 1810

SPRAWOZDANIE NR OS/0216/24

Z POMIARÓW NATĘŻENIA PÓL ELEKTROMAGNETYCZNYCH

WYKONANYCH DLA CELÓW OCHRONY ŚRODOWISKA

Miejsce wykonania badania: <small>(dane uzyskane od zleceniodawcy)</small>	MIE3305A 39-300 Mielec, Czecha 1, pow. mielecki, woj. PODKARPACKIE	
Współrzędne geograficzne:	50°17'06.78"N 21°26'39.92"E	
Data wykonania pomiarów:	25.03.2024	
Data wydania sprawozdania:	30.03.2024	
Zleceniodawca:	P4 sp. z o.o. ul. Wynałazek 1 02-667 Warszawa	
Sprawozdanie wykonał:	Sprawdził:	Autoryzował:
Specjalista ds. analiz i wizualizacji wyników	mgr inż. Kierownik Laboratorium	mgr inż. Kierownik ds. jakości

1. INFORMACJE O UŻYTKOWNIKU

1.1. Zleceniodawca: P4 sp. z o.o. ul. Wynalazek 1, 02-667 Warszawa

1.2. Charakterystyka obiektu:

- **Typ obiekt:** Instalacja radiokomunikacyjna zainstalowana na maszcie na dachu budynku
- **Numer obiektu:** MIE3305A
- **Adres obiektu:** 39-300 Mielec, Czecha 1, pow. mielecki, woj. PODKARPACKIE
- **Współrzędne geograficzne:** 50°17'06.78"N 21°26'39.92"E

2. CHARAKTERYSTYKA ŹRÓDEŁ PEM (dane pozyskane od Klienta)

Tabela 1. Parametry systemu nadawczo-odbiorczego

Charakterystyka promieniowania				kierunkowa					
Rzeczywisty czas pracy [h/dobę]				Całodobowa 24h					
Warunki pracy				Znamionowe					
Rodzaj wytwarzanego pola				stacjonarne					
Lp.	Typ nadajnika	Antena Producent / Typ	Azymut [°]	Wysokość środku elektr. anteny [m n.p.t.]	Pasma [Mhz]	Kąt nachylenia [°]	EIRP dla anteny [W]	LON	LAT
1	RBS6xxx/2xxx/4xxx	Huawei ATR4518R6	45	24,7	800	0 - 10	7754	21°26'39.92"E	50°17'06.78"N
	2600				0 - 10	21°26'39.92"E		50°17'06.78"N	
2	RBS6xxx/2xxx/4xxx	Huawei ATR4518R6	45	24,7	900	0 - 10	11782	21°26'39.92"E	50°17'06.78"N
	1800				0 - 10	21°26'39.92"E		50°17'06.78"N	
	2100				0 - 10	21°26'39.92"E		50°17'06.78"N	
3	RBS6xxx/2xxx/4xxx	Ericsson AIR 3278	45	25,4	3500	4 - 9	10192	21°26'39.92"E	50°17'06.78"N
4	RBS6xxx/2xxx/4xxx	Huawei ATR4518R6	165	24,7	800	0 - 10	7754	21°26'39.92"E	50°17'06.78"N
	RBS6xxx/2xxx/4xxx				2600	0 - 10		21°26'39.92"E	50°17'06.78"N
5	RBS6xxx/2xxx/4xxx	Huawei ATR4518R6	165	24,7	900	0 - 10	11782	21°26'39.92"E	50°17'06.78"N
	RBS6xxx/2xxx/4xxx				1800	0 - 10		21°26'39.92"E	50°17'06.78"N
	RBS6xxx/2xxx/4xxx				2100	0 - 10		21°26'39.92"E	50°17'06.78"N
6	RBS6xxx/2xxx/4xxx	Ericsson AIR 3278	165	25,4	3500	4 - 9	10192	21°26'39.92"E	50°17'06.78"N
7	RBS6xxx/2xxx/4xxx	Huawei ATR4518R6	285	24,7	800	0 - 10	7754	21°26'39.92"E	50°17'06.78"N
	RBS6xxx/2xxx/4xxx				2600	0 - 10		21°26'39.92"E	50°17'06.78"N
8	RBS6xxx/2xxx/4xxx	Huawei ATR4518R6	285	24,7	900	0 - 10	11782	21°26'39.92"E	50°17'06.78"N
	RBS6xxx/2xxx/4xxx				1800	0 - 10		21°26'39.92"E	50°17'06.78"N
	RBS6xxx/2xxx/4xxx				2100	0 - 10		21°26'39.92"E	50°17'06.78"N
9	RBS6xxx/2xxx/4xxx	Ericsson AIR 3278	285	25,4	3500	4 - 9	10192	21°26'39.92"E	50°17'06.78"N

Tabela 2. Parametry radiolinii

Charakterystyka promieniowania				kierunkowa					
Rzeczywisty czas pracy [h/dobę]				24					
Rodzaj wytwarzanego pola				stacjonarne					
Linia radiowa				Antena					
Lp	Typ nadajnika	Częstotliwość pracy [GHz]	Moc wyjściowa [dBm]	Typ/producent	Średnica anteny [m]	Azymut [°]	Wysokość zainstal. [m]	LON	LAT
1	OPTIX RTN/HUAWEI	80	19	0.6-80(VHLP2-80)	0,6	31	22,4	21°26'39.92"E	50°17'06.79"N
2	OPTIX RTN/HUAWEI	80	18	0.6-80(VHLP2-80)	0,6	237	22,4	21°26'39.92"E	50°17'06.79"N
3	OPTIX RTN/HUAWEI	80	18	0.3-80(A80S03)	0,3	247	22,4	21°26'39.92"E	50°17'06.79"N

Inne źródła PEM: W obszarze pomiarowym badanego obiektu **nie występują** inne źródła promieniowania pola elektromagnetycznego, które w zakresie badanych częstotliwości bezpośrednio wpływają na wynik wartości mierzonej natężenia pola.

3. OPIS POMIARÓW

Cel badań: Sprawdzenie dotrzymania dopuszczalnych poziomów pól elektromagnetycznych, w otoczeniu instalacji wytwarzających takie pola.

3.1. Data oraz warunki pomiarów

Data pomiarów	Godzina		Opady	Temperatura [C]		Wilgotność [%]	
	rozpoczęcia pomiarów	zakończenia pomiarów		Minimalna	Maksymalna	Minimalna	Maksymalna
25.03.2024	12:30	14:00	Brak	8,0	8,3	71,6	72,1

3.2. Nazwiska osób wykonujących pomiary: Bartosz Piotrowski

3.3. Osoba towarzysząca: brak

3.4. Aparatura pomiarowa:

Tabela 3. Opis zestawu pomiarowego

Nazwa	Typ/model	Numer fabryczny/SN	Świadectwo wzorcowania	Zastosowanie
Szerokopasmowy miernik natężenia pola elektromagnetycznego	NBM- 520	D-2228	LWiMP/W/088/22 z dnia 19.05.2022 (Laboratorium Wzorców i Metrologii Pola Elektromagnetycznego Instytutu Telekomunikacji, Teleinformatyki i Akustyki Politechniki Wrocławskiej)	Pomiary pola elektromagnetycznego
Sonda pomiarowa pola elektrycznego	EF-9091	A-0139		
Szerokopasmowy miernik natężenia pola elektromagnetycznego	NBM- 520	D-2188		
Sonda pomiarowa pola elektrycznego	EF-0691	J-0214		
Termohigrometr	ETI 600 224-600	D22060186	LPTW/326/2022 z dnia 10.05.2022 (LPTW)	Pomiary wilgotności względnej powietrza Pomiary temperatury powietrza
Dalmierz laserowy	PLR30C	221208895	45854/1 /2022 z dnia 17.05.2022 (Laboratorium pomiarowe LABOTRONIC)	Pomiar odległości
Odbiornik GPS	Garmin GLO2	1792A-A1156/5PS066633	-	Pomiar współrzędnych geograficznych

3.5. Wyznaczenie niepewności pomiarów:

Ocenę niepewności przyjmuje się zgodnie z procedurą stosowaną w laboratorium.

Wyznaczona rozszerzona niepewność pomiaru dla współczynnika rozszerzenia $k = 2$ dla zestawu pomiarowego z pkt.3.4 w dniu pomiaru wynosi 21,46%.

3.6. Kryteria przedstawiania stwierdzeń zgodności

Niniejsze sprawozdanie zgodnie z zasadami systemu akredytacji zawiera stwierdzenia zgodności.

W przypadku badań poziomów pola elektromagnetycznego w środowisku stwierdzenie zgodności dotyczy rozstrzygnięcia, czy zmierzona wartość opisująca pole elektromagnetyczne przekracza wartość dopuszczalną dla zakresu częstotliwości, w którym pracują źródła podane w Rozporządzeniu Ministra Zdrowia z dnia 17 grudnia 2019 r. w sprawie dopuszczalnych poziomów pól elektromagnetycznych w środowisku (Dz. U. z 2019 r. poz. 2448).

3.7. Metodyka wykonania pomiarów:

Zastosowano metodę znormalizowaną w oparciu o Rozporządzenie Ministra Klimatu i Środowiska z dnia 6 maja 2022 r. zmieniające rozporządzenie w sprawie sposobów sprawdzania dotrzymania dopuszczalnych poziomów pól elektromagnetycznych w środowisku (Dz.U. 2022 poz. 1121).

3.8. Przepisy prawne:

- Ustawa z dnia 27 kwietnia 2001 r. Prawo ochrony środowiska (Dz.U. 2024 r. poz. 54).
- Rozporządzenie Ministra Zdrowia z dnia 17 grudnia 2019 r. w sprawie dopuszczalnych poziomów pól elektromagnetycznych w środowisku (Dz. U. z 2019 r. poz. 2448).
- Rozporządzenie Ministra Klimatu z dnia 17 lutego 2020 r. w sprawie sposobów sprawdzania dotrzymania dopuszczalnych poziomów pól elektromagnetycznych w środowisku Załącznik do obwieszczenia Ministra Klimatu i Środowiska z dnia 21 listopada 2022 r. (Dz. U. poz. 2630).

3.9. Opis pomiarów

Stacja bazowa MIE3305A usytuowana jest na maszcie na dachu budynku zlokalizowanego pod adresem 39-300 Mielec, Czecha 1, pow. mielecki, woj. PODKARPACKIE. Anteny i moduły RRU zamontowane są na antenowych konstrukcjach wsporczych a urządzenia są w szafie APM zainstalowanej na dachu. W najbliższym otoczeniu stacji zlokalizowana jest zabudowa jednorodzinna oraz wielorodzinna, zabudowa handlowo-usługowa oraz zabudowa użyteczności publicznej. Analiza parametrów technicznych wykazała, że urządzenia nadawcze stacji pracują w paśmie częstotliwości zgodnie z tabelą 1 oraz tabelą 2. Moc wyjściowa nadajników doprowadzona jest do anten przy pomocy ekranowanych fiderów.

Pomiary w otoczeniu Stacji bazowej wykonano wzdłuż kierunków maksymalnego zasięgu oddziaływania pola elektromagnetycznego na kierunkach osi głównych wiązek anten sektorowych do odległości określonej zgodnie z wytycznymi zawartymi w instrukcji wykonywania pomiarów, podczas rzeczywistej pracy urządzeń wytwarzających pola elektromagnetyczne. Pomiary wykonano dla średniego pochylenia wiązki liczonego jako średnia arytmetyczna z minimalnej i maksymalnej wartości stosowanego lub planowanego kąta pochylenia.

Pomiary w przyjętych pionach pomiarowych wykonano w punktach położonych na wysokościach od 0,3 m do 2,0 m nad powierzchnią ziemi lub nad innymi powierzchniami, na których mogą przebywać ludzie, przyjmując za wynik pomiaru maksymalny poziom natężenie pól elektromagnetycznego.

Przy doborze pionów pomiarowych uwzględniono charakter i sposób zagospodarowania terenu otaczającego stację bazową.

3.10. Sposób identyfikacji widma częstotliwości:

Parametry stacji bazowej uzyskane od właściciela instalacji stacji bazowej.

4. WYNIKI POMIARÓW

Wyniki pomiarów ważne są jedynie dla danej konfiguracji urządzeń w dniu, w którym wykonano pomiary.

Wynik pomiaru, to maksymalna wartości chwilowa zmierzona w danym pionie pomiarowym powiększona o rozszerzoną niepewność pomiaru U dla współczynnika rozszerzenia $k = 2$ (dla poziomu ufności 95%).

Tabela 3. Dopuszczalne poziomy pól elektromagnetycznych

Parametr fizyczny Zakres częstotliwości pola elektromagnetycznego	Składowa elektryczna	Składowa magnetyczna
od 400 MHz do 2000 MHz	$1,375 \times f^{0,5}$ V/m	$0,00375 \times f^{0,5}$ A/m
Od 2 GHz do 300 GHz	61 V/m	0,16 A/m

Do wyznaczania wartości wskaźnikowych WM_E i WM_H przyjęto najniższe wartości dopuszczalne poziomów pól elektromagnetycznych w/w zakresów częstotliwości.

Tabela 4. Wyniki pomiarów

Nr pionu	Opis miejsca pomiaru	Pomiar wewnątrz pomieszczenia	Współrzędne geograficzne		Wynik poniżej progu detekcji*	E _p [V/m]	U [V/m]	E _p + U [V/m]	H [A/m]	WME	WMH	Przekroczenie wartości dopuszczalnej
			[°] E	[°] N								
1	Poziom gruntu - Główny kierunek pomiarowy anteny sektorowej azymut 45st	NIE	21,444824026	50,285476615	NIE	1,23	0,27	1,50	0,004	0,05	0,054	nie przekracza
2	Poziom gruntu - Główny kierunek pomiarowy anteny sektorowej azymut 45st	NIE	21,445109117	50,285655561	NIE	1,34	0,29	1,63	0,004	0,06	0,058	nie przekracza
3	Poziom gruntu - Główny kierunek pomiarowy anteny sektorowej azymut 45st	NIE	21,445583302	50,285962436	NIE	1,19	0,26	1,45	0,004	0,05	0,052	nie przekracza
4	Poziom gruntu - Główny kierunek pomiarowy anteny sektorowej azymut 45st	NIE	21,446055094	50,286263919	NIE	1,11	0,24	1,35	0,004	0,05	0,048	nie przekracza
5	Poziom gruntu - pomocniczy pion pomiarowy	NIE	21,446554619	50,285657768	NIE	1,07	0,23	1,30	0,003	0,05	0,047	nie przekracza
6	Poziom gruntu - Główny kierunek pomiarowy anteny radioliniowej azymut 31st	NIE	21,444903120	50,285736050	NIE	1,22	0,27	1,49	0,004	0,05	0,053	nie przekracza
7	Poziom gruntu - Główny kierunek pomiarowy anteny radioliniowej azymut 31st	NIE	21,444629281	50,285445356	NIE	1,15	0,25	1,40	0,004	0,05	0,050	nie przekracza
8	Poziom gruntu - Pomocniczy kierunek pomiarowy anteny sektorowej	NIE	21,444995526	50,285220066	NIE	1,24	0,27	1,51	0,004	0,05	0,054	nie przekracza
9	Poziom gruntu - Pomocniczy kierunek pomiarowy anteny sektorowej	NIE	21,444955260	50,285014210	NIE	1,27	0,28	1,55	0,004	0,06	0,056	nie przekracza
10	Poziom gruntu - pomocniczy pion pomiarowy	NIE	21,445586781	50,284995478	NIE	1,35	0,29	1,64	0,004	0,06	0,059	nie przekracza
11	Poziom gruntu - Główny kierunek pomiarowy anteny sektorowej azymut 165st	NIE	21,444547142	50,284919446	NIE	1,36	0,30	1,66	0,004	0,06	0,060	nie przekracza
12	Poziom gruntu - Główny kierunek pomiarowy anteny sektorowej azymut 165st	NIE	21,444644439	50,284664458	NIE	1,23	0,27	1,50	0,004	0,05	0,054	nie przekracza
13	Poziom gruntu - Główny kierunek pomiarowy anteny sektorowej azymut 165st	NIE	21,444763910	50,284428043	NIE	1,09	0,24	1,33	0,004	0,05	0,048	nie przekracza
14	Poziom gruntu - Główny kierunek pomiarowy anteny sektorowej azymut 165st	NIE	21,444978166	50,283887736	NIE	0,97	0,21	1,18	0,003	0,04	0,042	nie przekracza
15	Poziom gruntu - Pomocniczy kierunek pomiarowy anteny sektorowej	NIE	21,444138963	50,284906275	NIE	1,05	0,23	1,28	0,003	0,05	0,046	nie przekracza
16	Poziom gruntu - Pomocniczy kierunek pomiarowy anteny sektorowej	NIE	21,443940141	50,284671117	NIE	1,23	0,27	1,50	0,004	0,05	0,054	nie przekracza
17	Poziom gruntu - Główny kierunek pomiarowy anteny radioliniowej azymut 237st	NIE	21,443910343	50,285000838	NIE	1,35	0,29	1,64	0,004	0,06	0,059	nie przekracza

Nr pionu	Opis miejsca pomiaru	Pomiar wewnątrz pomieszczenia	Współrzędne geograficzne		Wynik poniżej progu detekcji*	E _p [V/m]	U [V/m]	E _p + U [V/m]	H [A/m]	WME	WMH	Przekroczenie wartości dopuszczalnej
			[°] E	[°] N								
18	Poziom gruntu - Główny kierunek pomiarowy anteny radioliniowej azymut 237st	NIE	21,443654599	50,284897426	NIE	1,02	0,22	1,24	0,003	0,04	0,044	nie przekracza
19	Poziom gruntu - Główny kierunek pomiarowy anteny radioliniowej azymut 237st	NIE	21,443324823	50,284757493	NIE	0,92	0,20	1,12	0,003	0,04	0,040	nie przekracza
20	Poziom gruntu - Główny kierunek pomiarowy anteny radioliniowej azymut 247st	NIE	21,443617207	50,284996124	NIE	1,09	0,24	1,33	0,004	0,05	0,048	nie przekracza
21	Poziom gruntu - Główny kierunek pomiarowy anteny radioliniowej azymut 247st	NIE	21,443252863	50,284899529	NIE	0,96	0,21	1,17	0,003	0,04	0,042	nie przekracza
22	Poziom gruntu - Główny kierunek pomiarowy anteny sektorowej azymut 285st	NIE	21,443938424	50,285300330	NIE	1,24	0,27	1,51	0,004	0,05	0,054	nie przekracza
23	Poziom gruntu - Główny kierunek pomiarowy anteny sektorowej azymut 285st	NIE	21,443556939	50,285366376	NIE	1,20	0,26	1,46	0,004	0,05	0,052	nie przekracza
24	Poziom gruntu - Główny kierunek pomiarowy anteny sektorowej azymut 285st	NIE	21,443310031	50,285407833	NIE	1,07	0,23	1,30	0,003	0,05	0,047	nie przekracza
25	Poziom gruntu - Główny kierunek pomiarowy anteny sektorowej azymut 285st	NIE	21,442906208	50,285479787	NIE	1,08	0,24	1,32	0,004	0,05	0,047	nie przekracza
26	Poziom gruntu - Główny kierunek pomiarowy anteny sektorowej azymut 285st	NIE	21,442311361	50,285579326	NIE	0,82	0,18	1,00	0,003	0,04	0,036	nie przekracza
27	Poziom gruntu - Pomocniczy kierunek pomiarowy anteny sektorowej	NIE	21,444231084	50,285433789	NIE	1,23	0,27	1,50	0,004	0,05	0,054	nie przekracza
28	Poziom gruntu - Pomocniczy kierunek pomiarowy anteny sektorowej	NIE	21,444425168	50,285465969	NIE	1,27	0,28	1,55	0,004	0,06	0,056	nie przekracza
29	Poziom gruntu - Pomocniczy kierunek pomiarowy anteny sektorowej	NIE	21,443971171	50,285718488	NIE	1,11	0,24	1,35	0,004	0,05	0,048	nie przekracza
30	Poziom gruntu - pomocniczy pion pomiarowy	NIE	21,444037084	50,283967372	NIE	0,89	0,20	1,09	0,003	0,04	0,039	nie przekracza
31	Poziom gruntu - pomocniczy pion pomiarowy	NIE	21,443197038	50,284362185	NIE	0,96	0,21	1,17	0,003	0,04	0,042	nie przekracza
32	Poziom gruntu - pomocniczy pion pomiarowy	NIE	21,442704508	50,286127710	TAK	<0,80	0,18	0,98	0,003	0,04	0,035	nie przekracza

Objaśnienia:

$$E_p: E_{poprawne} = E_{wskazane} * C_{d(E)} * C_{f(f)}$$

$E_{wskazane}$ - zmierzona maksymalna wartość chwilowa natężenia pola elektrycznego

$C_{d(E)}$ – charakterystyka dynamiczna sondy – zgodna ze świadectwem wzorcowania

$C_{f(f)}$ – charakterystyka częstotliwościowa sondy – zgodna ze świadectwem wzorcowania

H – wyznaczona wartość natężenia pola magnetycznego z uwzględnieniem współczynnika korekcyjnego oraz rozszerzonej niepewności pomiaru.

WM_E - wartość wskaźnikowa poziomu oddziaływania pól elektromagnetycznych dla miejsc dostępnych dla ludności dla składowej elektrycznej pola.

WM_H - wartość wskaźnikowa poziomu oddziaływania pól elektromagnetycznych dla miejsc dostępnych dla ludności dla składowej magnetycznej pola.

* Wynik poniżej progu detekcji - wartość zmierzona poniżej zakresu akredytacji. Do obliczeń przyjęto wartość zgodną z dolną granicą akredytowanego zakresu pomiarowego metody.

Piony pomiarowe wewnątrz budynków oraz na tarasach/balkonach wyznaczono na podstawie przeprowadzonych obliczeń rozkładu pola elektromagnetycznego zgodnie z wewnętrznymi procedurami laboratorium.

5. WNIOSKI

Stwierdza się, iż na podstawie uzyskanych wyników pomiarów i informacji uzyskanych od operatora, w otoczeniu stacji bazowej telefonii komórkowej MIE3305A w miejscach dostępnych dla ludności, w których dokonano pomiaru, nie zostały przekroczone wartości graniczne poziomów pól elektromagnetycznych określonych w Rozporządzeniu Ministra Zdrowia z dnia 17 grudnia 2019 r. w sprawie dopuszczalnych poziomów pól elektromagnetycznych w środowisku (Dz. U. z 2019 r. poz. 2448).

Stwierdzenie zgodności zostało przedstawione na podstawie wyników badań oraz informacji uzyskanych od klienta (za które Laboratorium nie ponosi odpowiedzialności) dla instalacji opisanej w punkcie 2. Stwierdzenia zgodności dokonano na podstawie zasady podejmowania decyzji i wymagań zawartych w załączniku do Rozporządzenia Ministra Klimatu z dnia 17 lutego 2020 r. w sprawie sposobów sprawdzania dotrzymania dopuszczalnych poziomów pól elektromagnetycznych w środowisku (Dz.U. 2022 poz. 2630 z 15.12.2022r.).

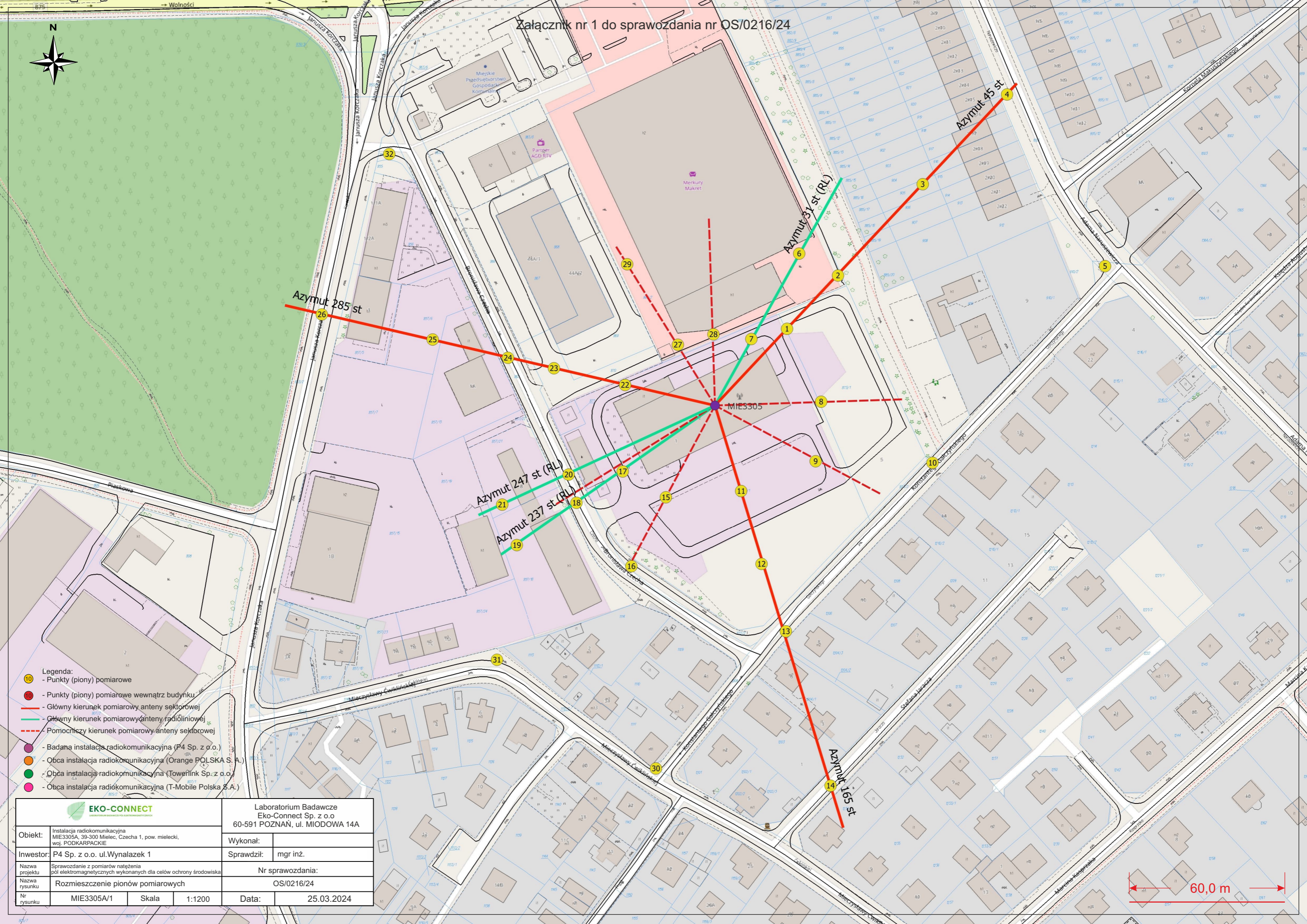
- Sprawozdanie zawiera 10 stron
- załączniki: nr 1 – mapa z rozmieszczeniem pionów pomiarowych wokół obiektu

Bez pisemnego zezwolenia laboratorium Eko-Connect sprawozdanie nie może być powielane inaczej, jak tylko w całości.


- Otrzymują:

1. Zleceniodawca: - 1 egz.
2. a / a: 1 egz.

Koniec sprawozdania



- Legenda:**
- - Punkty (piony) pomiarowe
 - - Punkty (piony) pomiarowe wewnątrz budynku
 - - Główny kierunek pomiarowy anteny sektorowej
 - - Główny kierunek pomiarowy anteny radioliniowej
 - - - - Pomocniczy kierunek pomiarowy anteny sektorowej
 - - Badana instalacja radiokomunikacyjna (P4 Sp. z o.o.)
 - - Obca instalacja radiokomunikacyjna (Orange POLSKA S.A.)
 - - Obca instalacja radiokomunikacyjna (Toweflink Sp. z o.o.)
 - - Obca instalacja radiokomunikacyjna (T-Mobile Polska S.A.)

 EKO-CONNECT <small>LABORATORIUM BADAWCZE Pól ELEKTROMAGNETYCZNYCH</small>		Laboratorium Badawcze Eko-Connect Sp. z o.o 60-591 POZNAŃ, ul. MIODOWA 14A	
		Wykonał:	
Objekt:	Instalacja radiokomunikacyjna MIE3305A, 39-300 Mielec, Czecha 1, pow. mielecki, woj. PODKARPACKIE	Wykonał:	
Inwestor:	P4 Sp. z o.o. ul. Wynałazek 1	Sprawdził:	mgr inż.
Nazwa projektu	Sprawozdanie z pomiarów natężenia pól elektromagnetycznych wykonanych dla celów ochrony środowiska	Nr sprawozdania:	
Nazwa rysunku	Rozmieszczenie pionów pomiarowych	OS/0216/24	
Nr rysunku	MIE3305A/1	Skala	1:1200
		Data:	25.03.2024

60,0 m

Dokonano anonimizacji danych na podstawie art. 5 ust. 2 ustawy z dnia 6 września 2001 r. o dostępie do informacji publicznej (t.j. Dz.U.2022.902). Anonimizacji dokonała: Klaudia Łaewska.